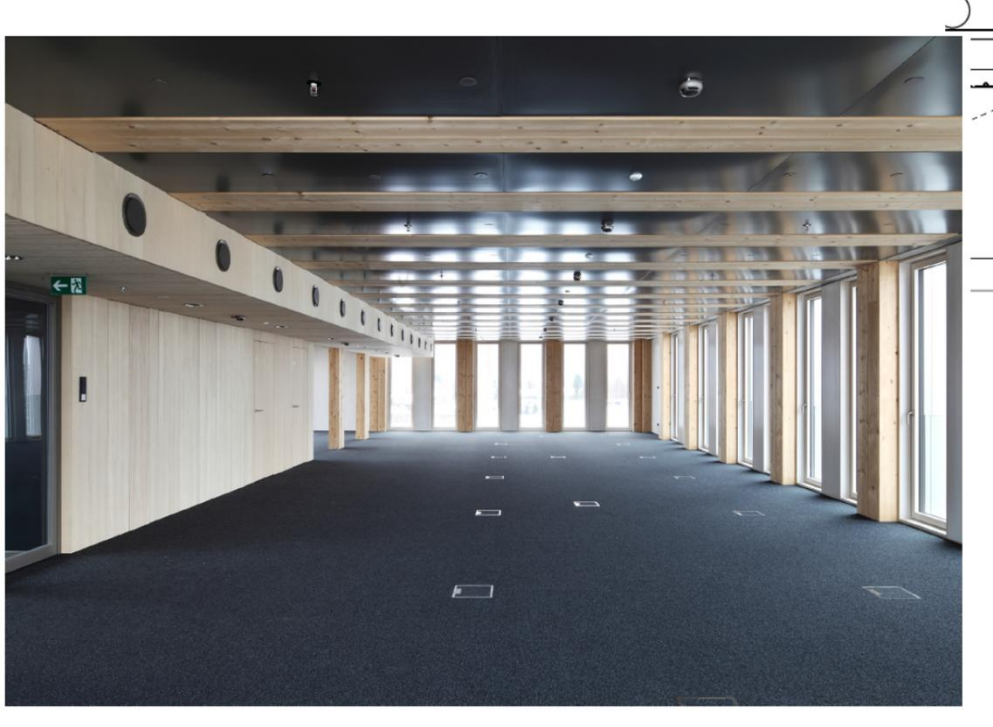
# Construction en bois Bachelor

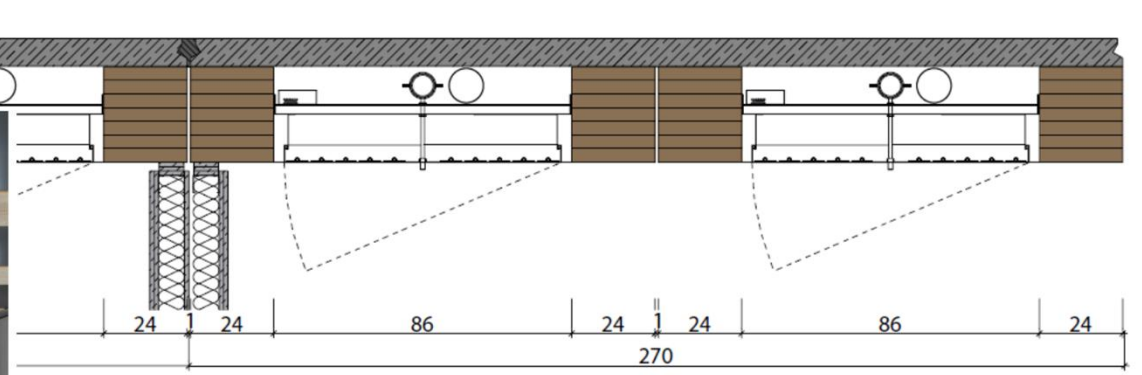
Le bois béton mixte

Holzbetonverbund

EPFL – école polytechnique fédérale de Lausanne

### Life cycle Tower One







#### Pont le sentier





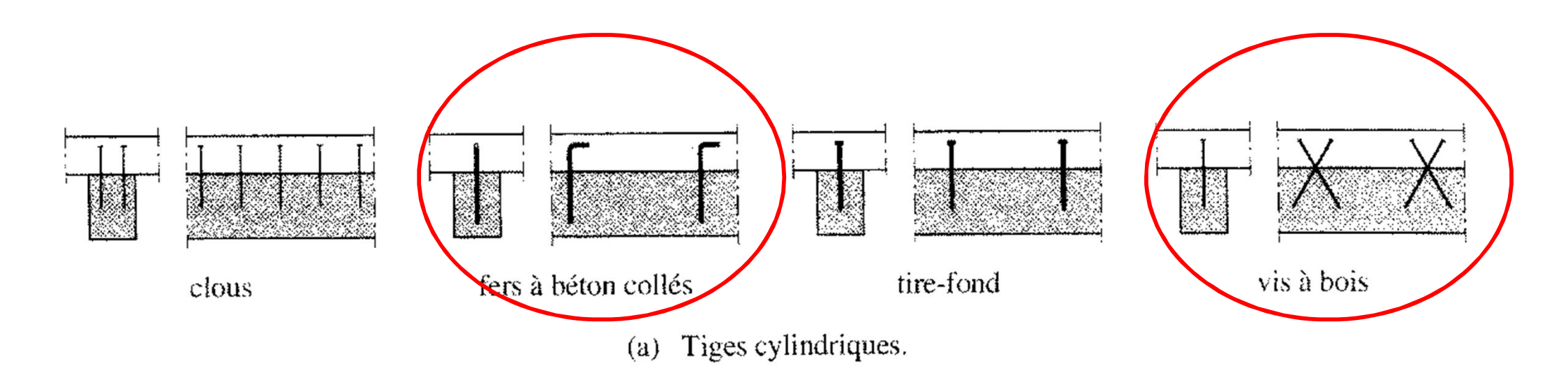


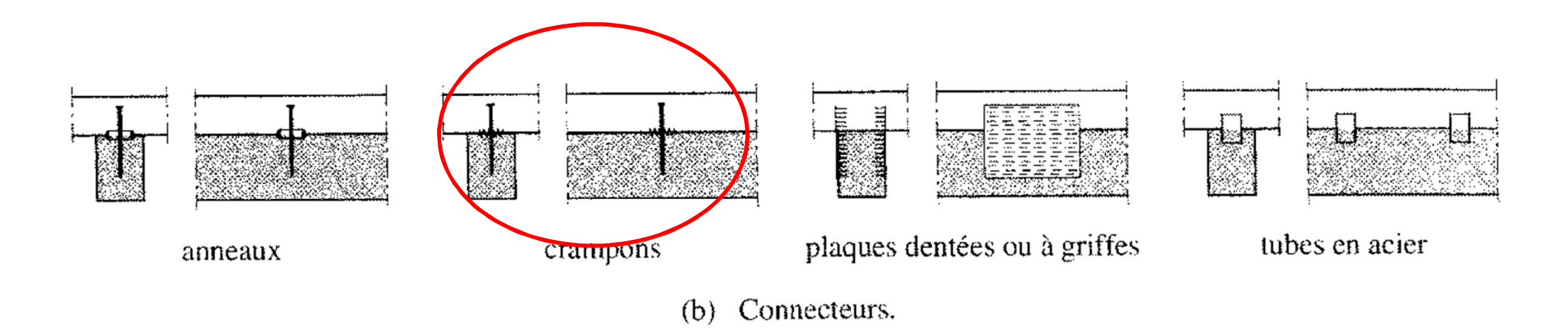
Charge utile 10 kN/m2 Portée 14,5 m

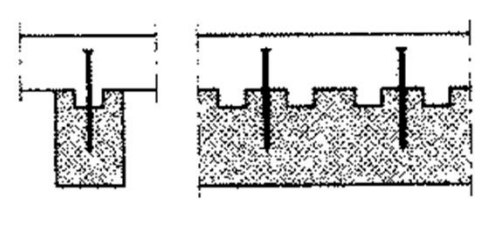
#### Pont du contournement de bulle



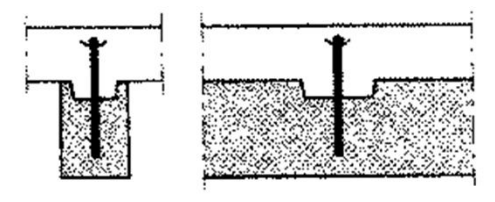




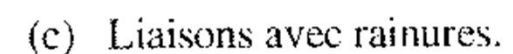


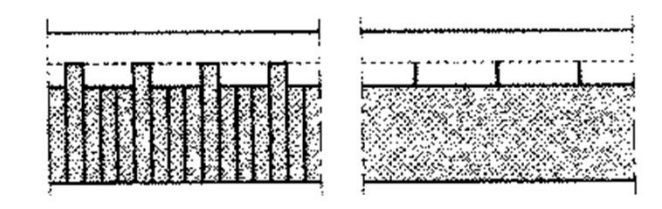


trous cylindriques

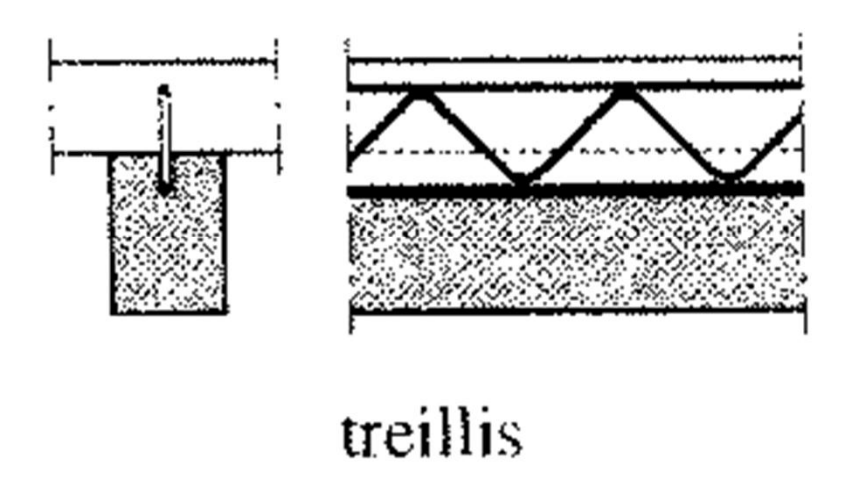


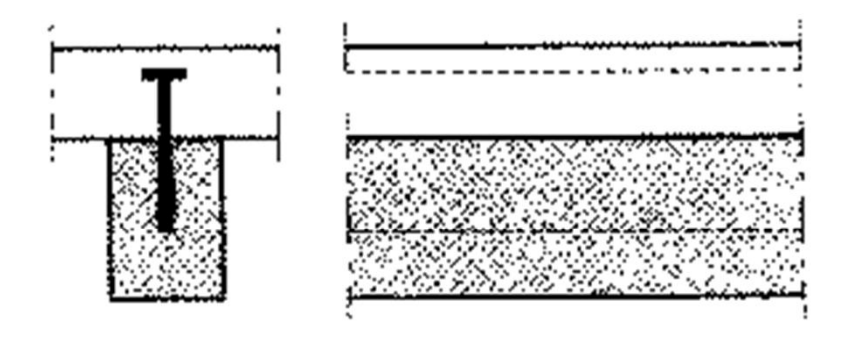
goujons précontraints





planches clouées + fers plats

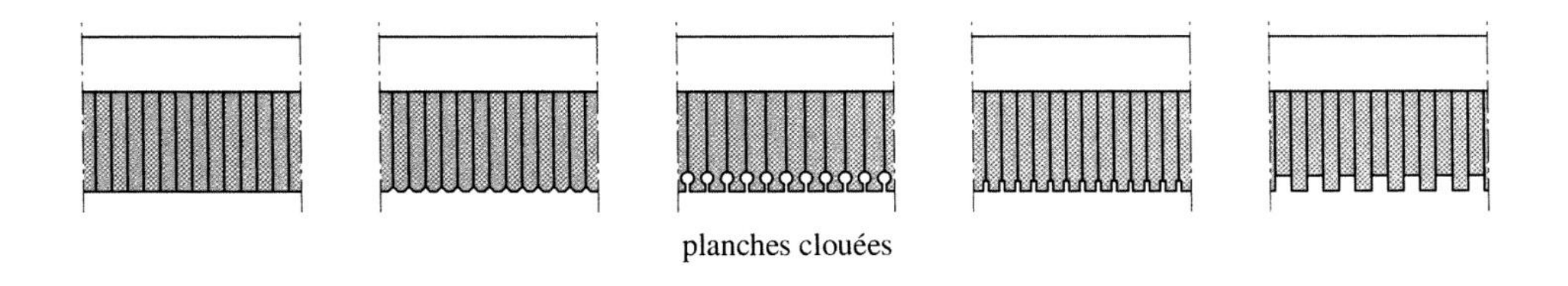




profilé composé-soudé

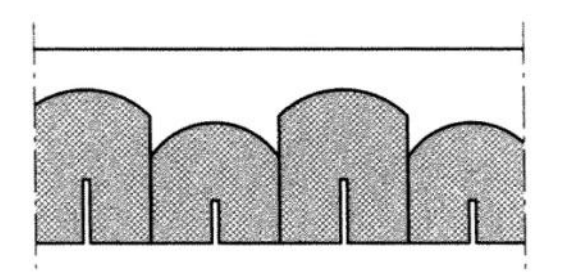
### Type de sections mixte

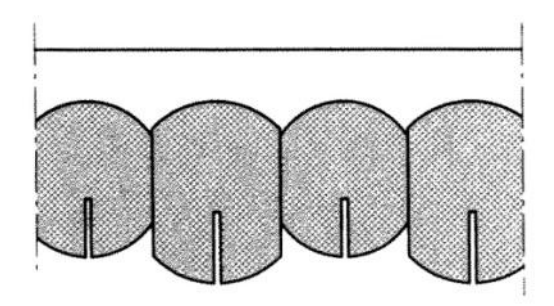
#### Dalle bois massive

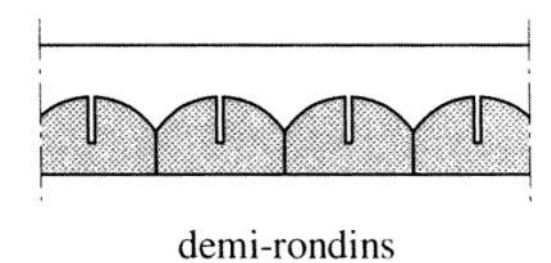


(a) Dalles massives.

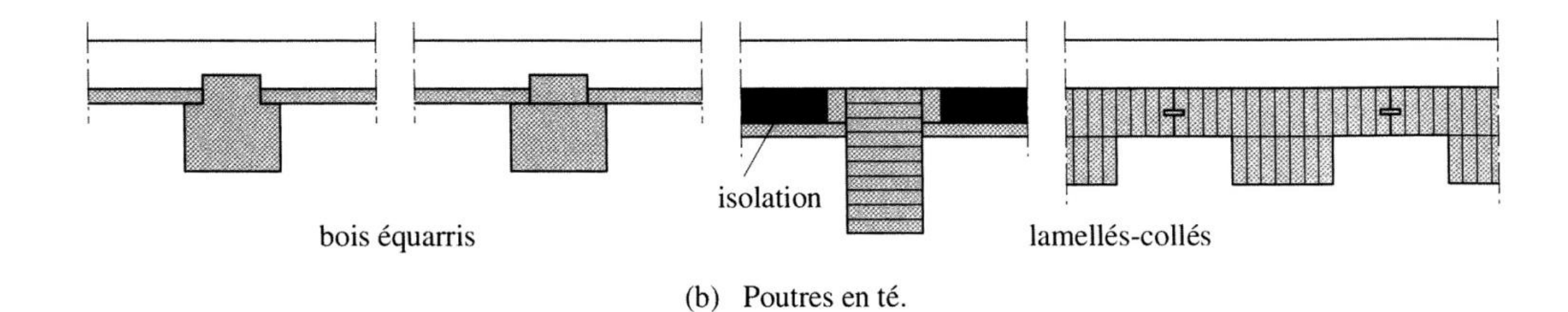
#### Dalle massive bois rond



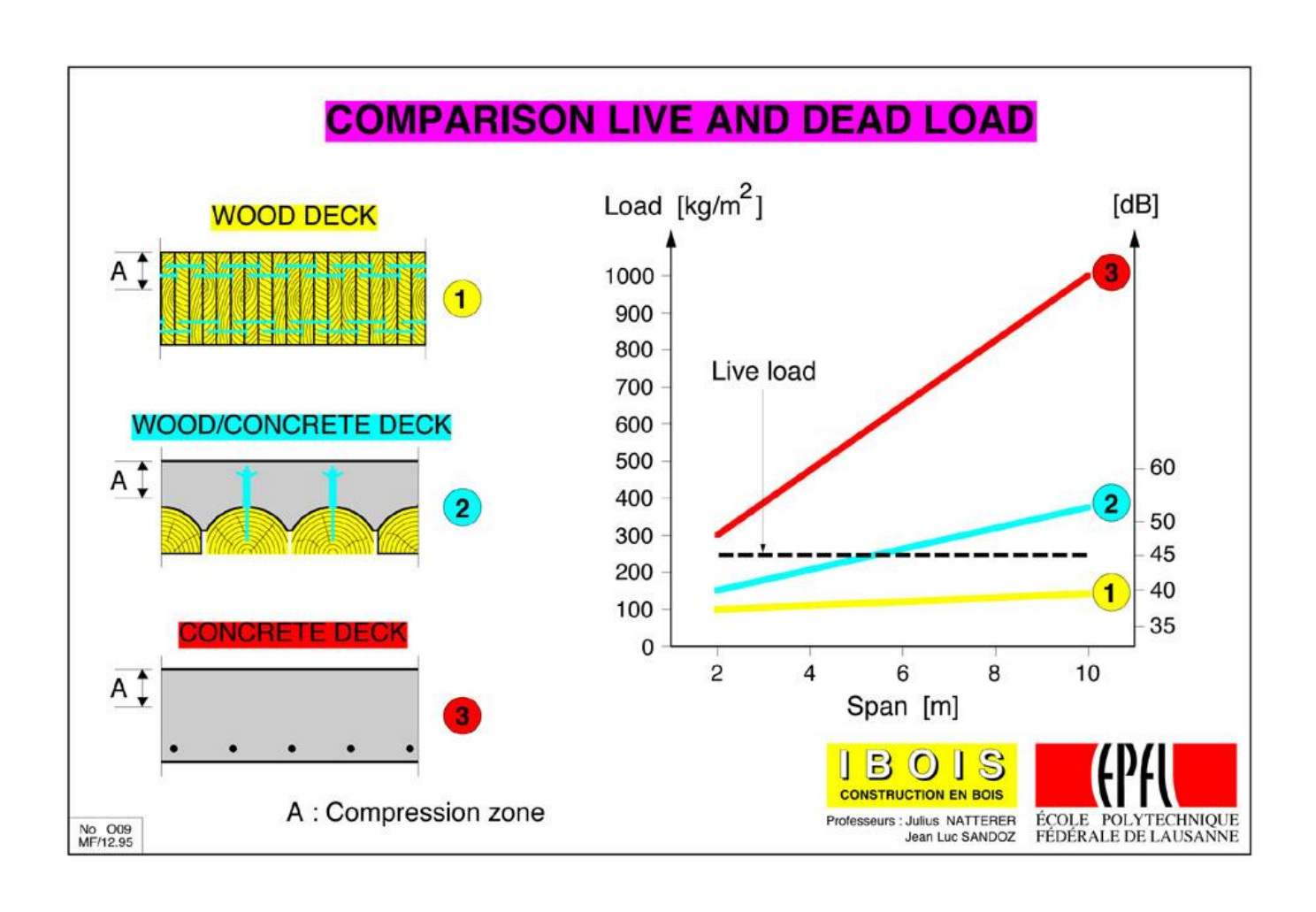




#### Section solive



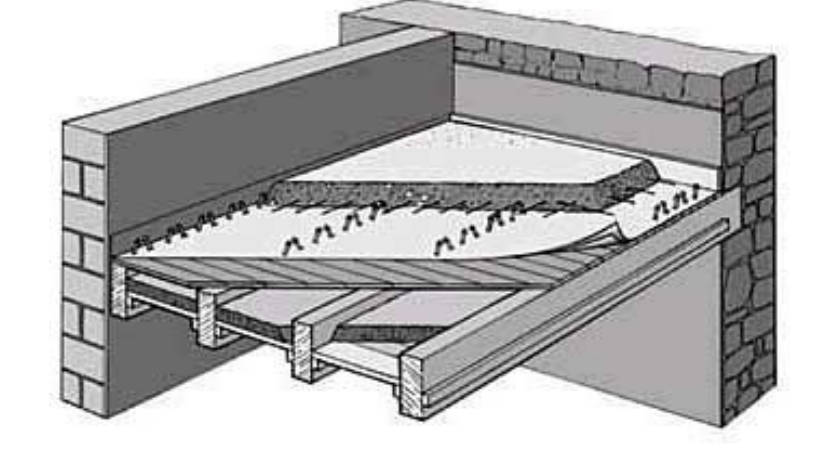
#### Avantage de la dalle bois béton mixte



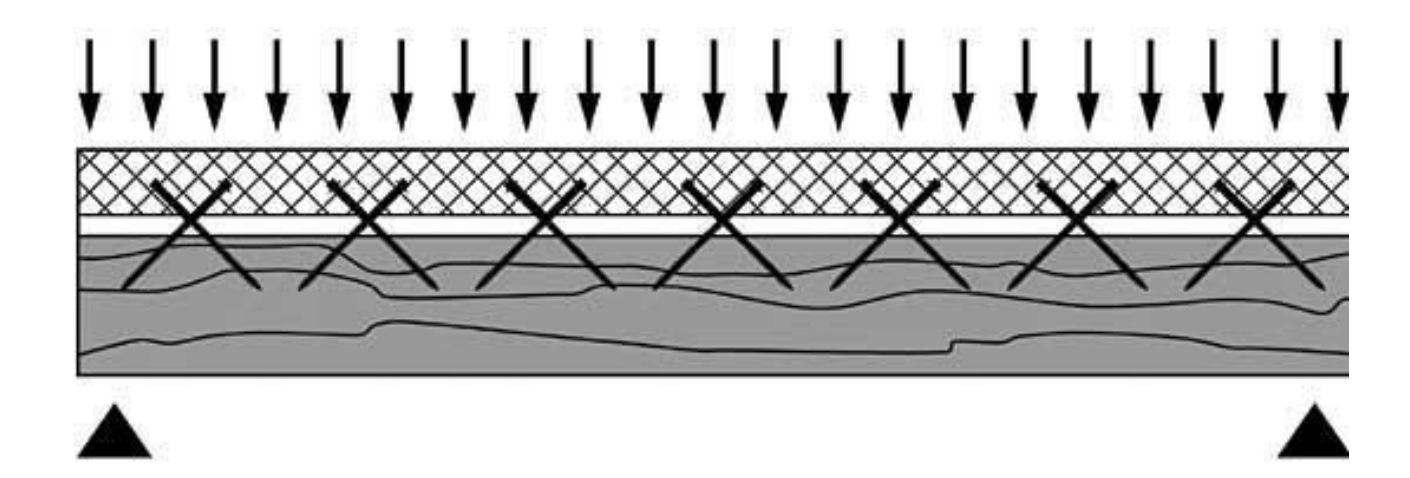
## Les marques

#### Les marques

Système SFS depuis 1995



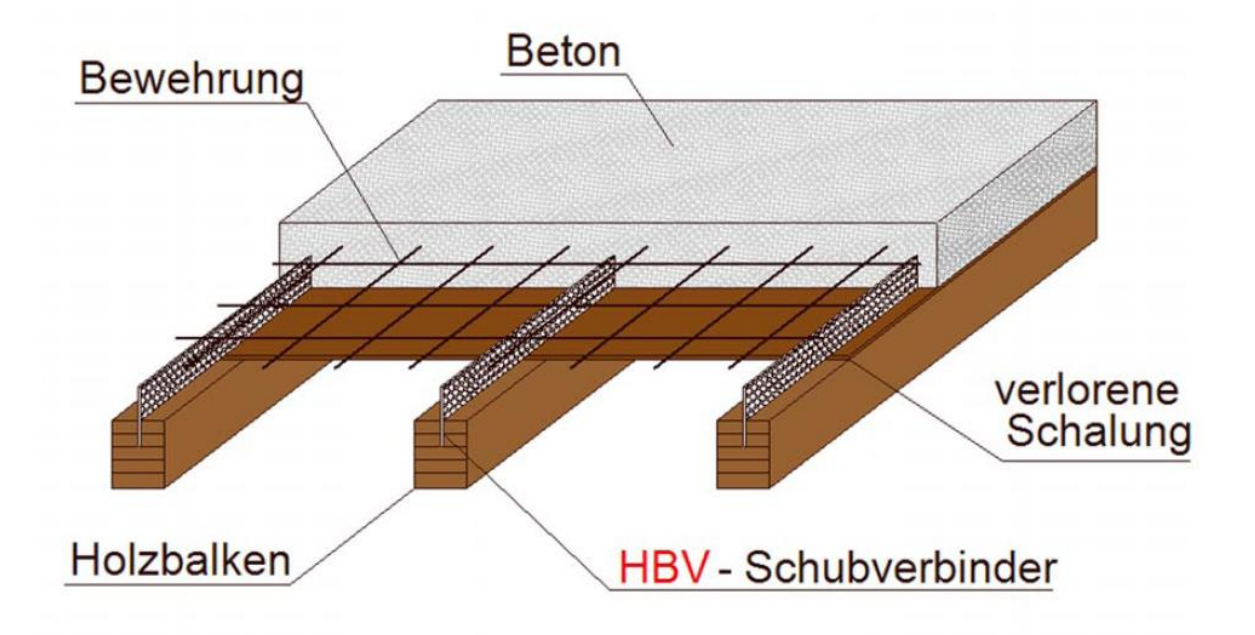




- Vis würth
- Vis rothoblass

#### Les marques

Système TiComTec – HBV-system



Ticomtec.de



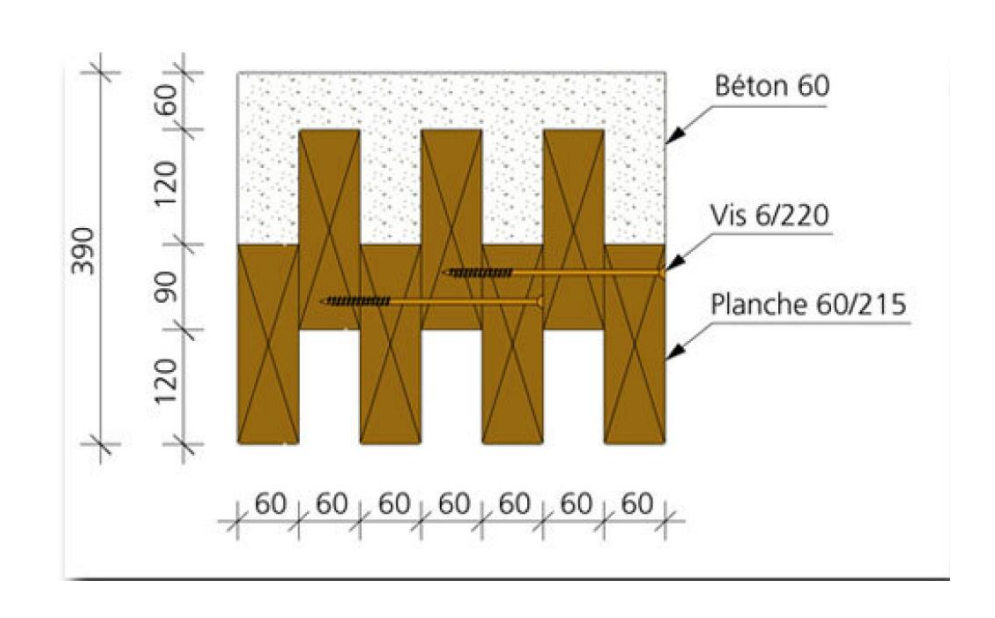




# Système

D-Dalle





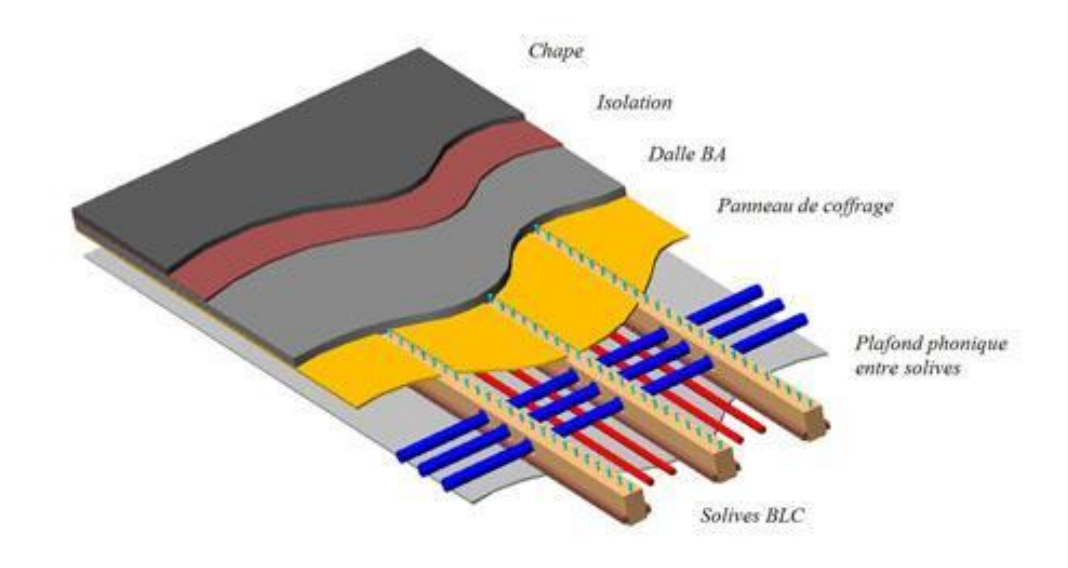


http://www.cbs-cbt.com

# Système

JPF-Ducret

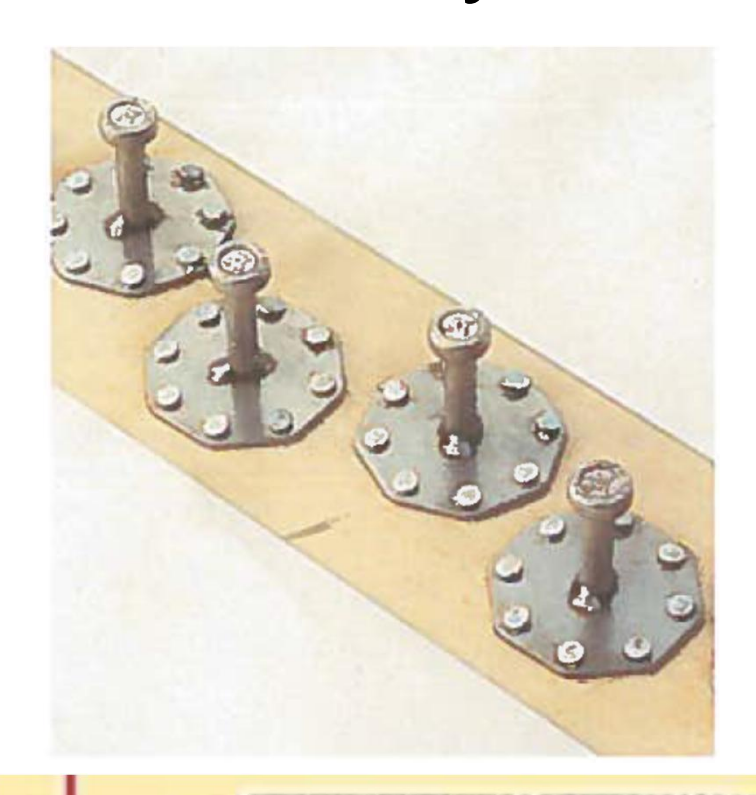


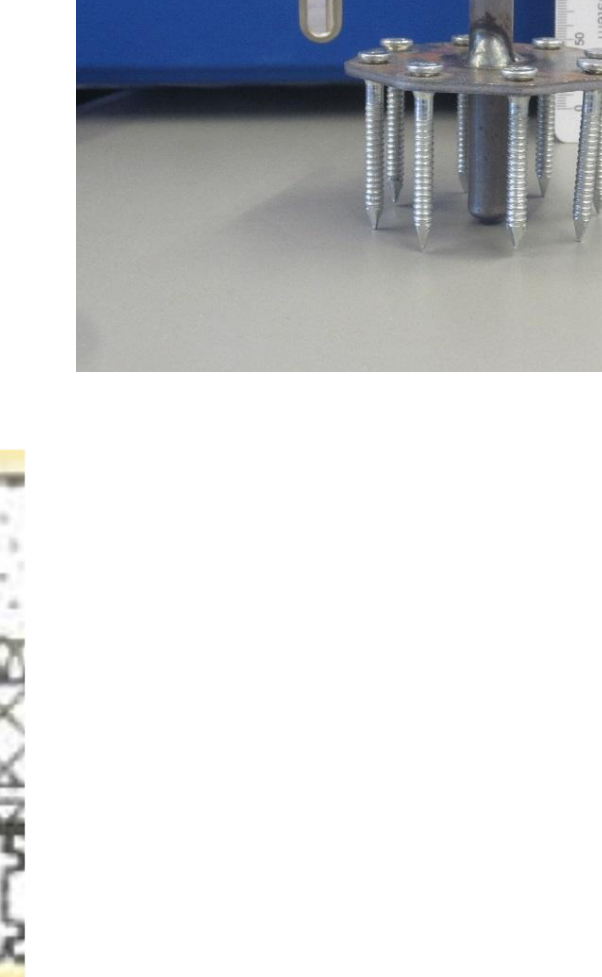




http://www.jpf-ducret.com

# Système Küttel





#### Système Küttel

- Module de glissement (ELS) K<sub>ser</sub>= 25'000 N/mm2
- Module de glissement (ELU) K<sub>u</sub>= 13'500 N/mm2

- Résistance  $R_{u,k}$  = 21.9 kN (5% fractile)
- Fd =  $k_{mod} R_{u,k} / \gamma_v = 0.8 \times 21.9 / 1.25 = 14 kN$

#### La problématique Bois-Béton

#### Problématique du bois béton

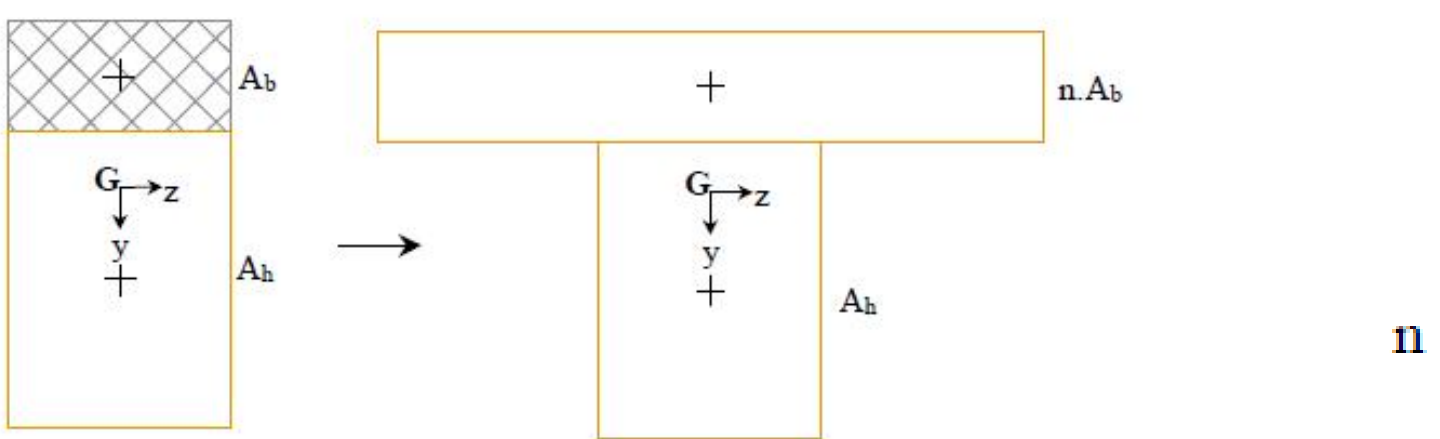
Assemblage semi-rigide

Méthode  $\gamma$ 

$$I_{eq} = \sum_{\substack{i=1\\rigidit\'e\ propre}}^{m} I_{i} + \sum_{\substack{i=1\\rigidit\'e\ de\ translation}}^{m} \gamma_{i} \cdot \bar{A}_{i} \cdot a_{i}^{2}$$

#### Problématique du bois béton

matériaux différents bois et béton avec rigidités différentes



$$\mathbf{n} = \frac{\mathbf{E_b}}{\mathbf{E_b}}$$

$$\sigma_b = E_b \ \epsilon_{sup} = \frac{E_b}{E_h} \ E_h \ \epsilon_{sup} = n \ \sigma_h$$

# Problématique du bois et du béton

Déformation différentiée dans le temps : le fluage

$$E_{\infty} = \frac{E_0}{1 + \varphi}$$

### Coefficient de liaison $\gamma$

Système à entaille

#### Coefficient de liaison $\gamma$

#### Connecteur linéaire

C , Kser, Ku : Coefficient de rigidité ponctuel de l'assemblage N/mm

C, Kser, Ku: coefficient de rigidité linéaire N/mm2

c'est-à-dire divisé par la distance entre connecteur

$$k = \frac{\pi^2 \cdot E_b \cdot A_b}{l^2 \cdot \bar{C}}$$

$$\gamma = \frac{1}{1+k}$$

# Système

#### Entaille

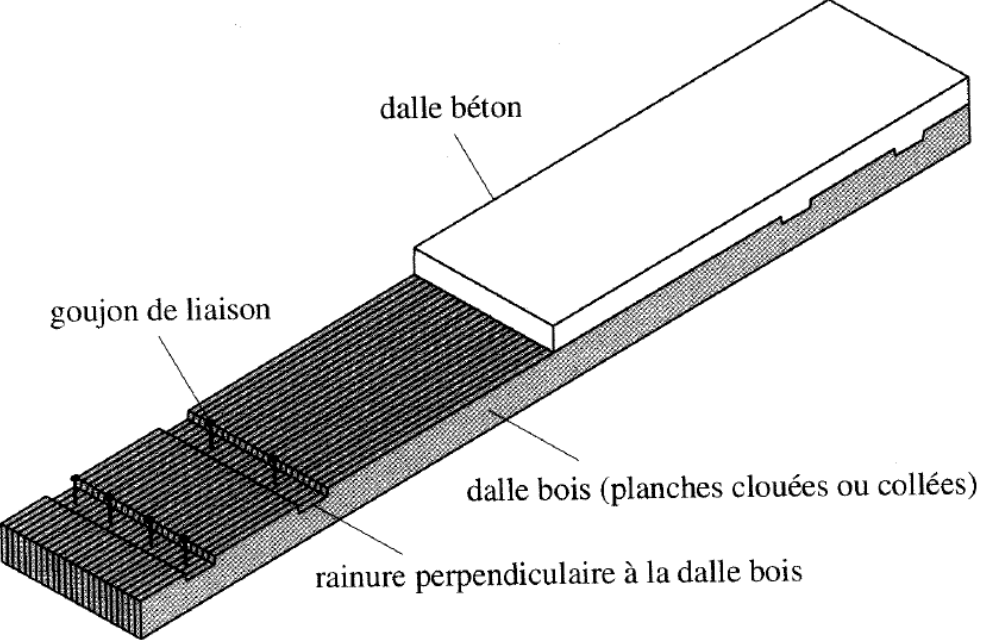
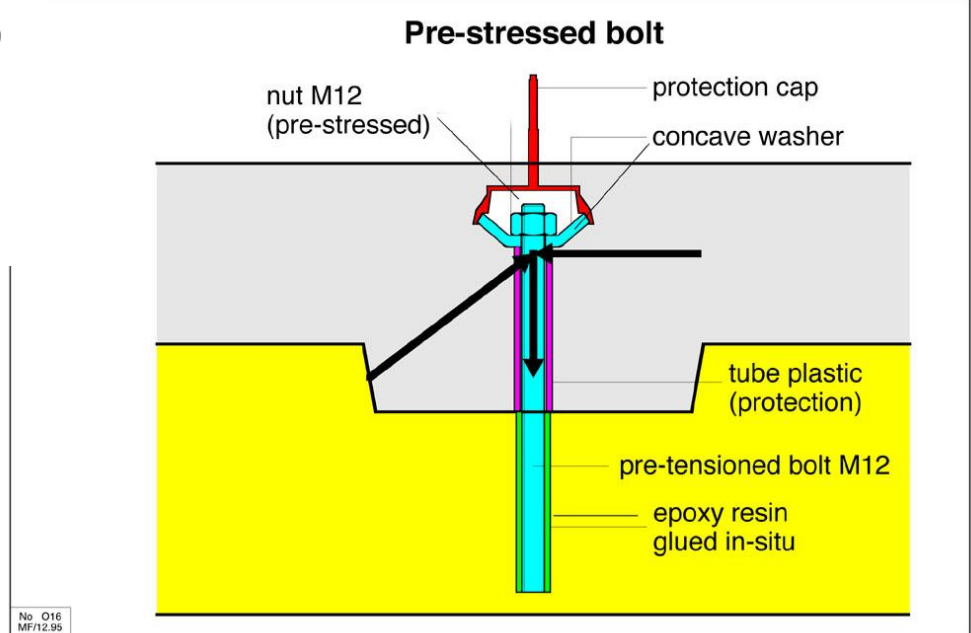


Fig. 9.16 Dalle mixte bois-béton avec rainures.



#### Coefficient de liaison $\gamma$

Connecteur ponctuel

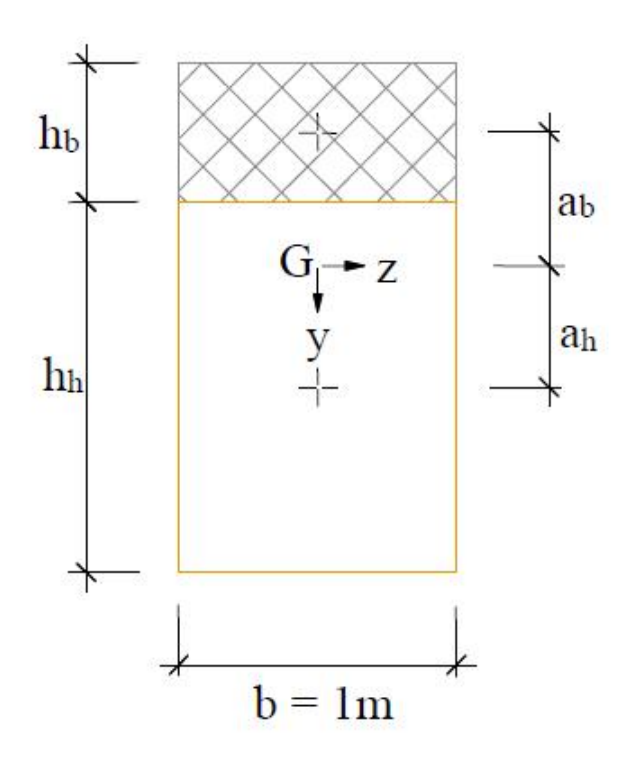
Pour le système à entaille

Tableau 9.18 Coefficient de glissement de la liaison γ pour une dalle mixte bois-béton avec rainures.

Portée <i>l</i> de la dalle mixte	Types de joints de planches clouées ou collées sur la portée l		
	Joints droits	Joints aboutés	Sans joint (= l)
<i>l</i> ≤ 7.0 m	0.80	0.80	0.85
$7.0 \text{ m} < l \le 10.0 \text{ m}$	0.80	0.85	0.90
<i>l</i> > 10.0 m	0.85	0.90	0.90

Traité de génie civil vol. 13 Construction en bois

Section bicouche



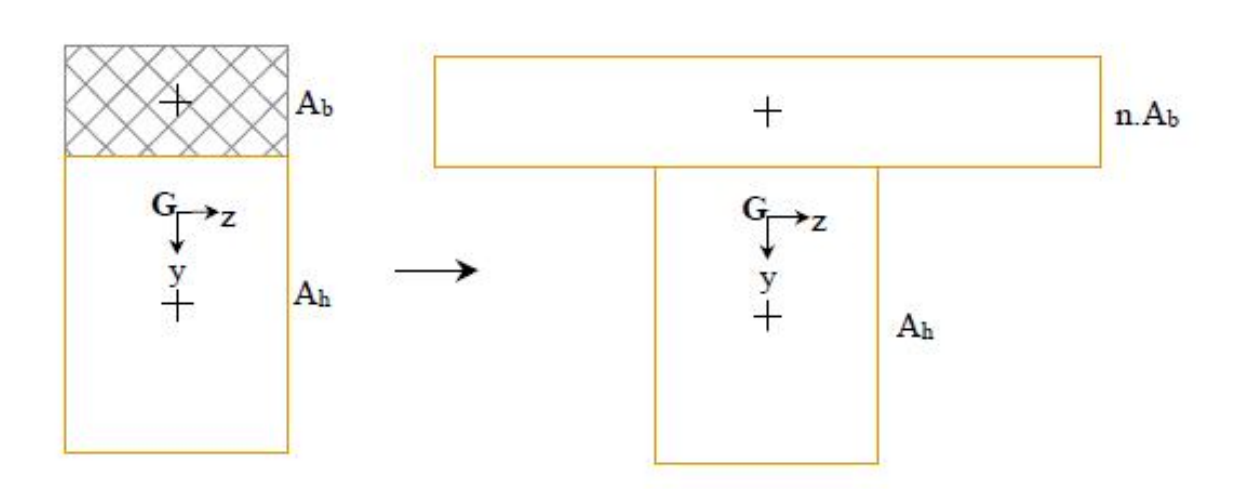
$$A_b = h_b b$$

$$I_b = \frac{b h_b^3}{12}$$

$$A_b = h_b b$$
  $A_h = h_h b$ 

$$I_b = \frac{b h_b^3}{12}$$
  $I_h = \frac{b h_h^3}{12}$ 

Section bicouche

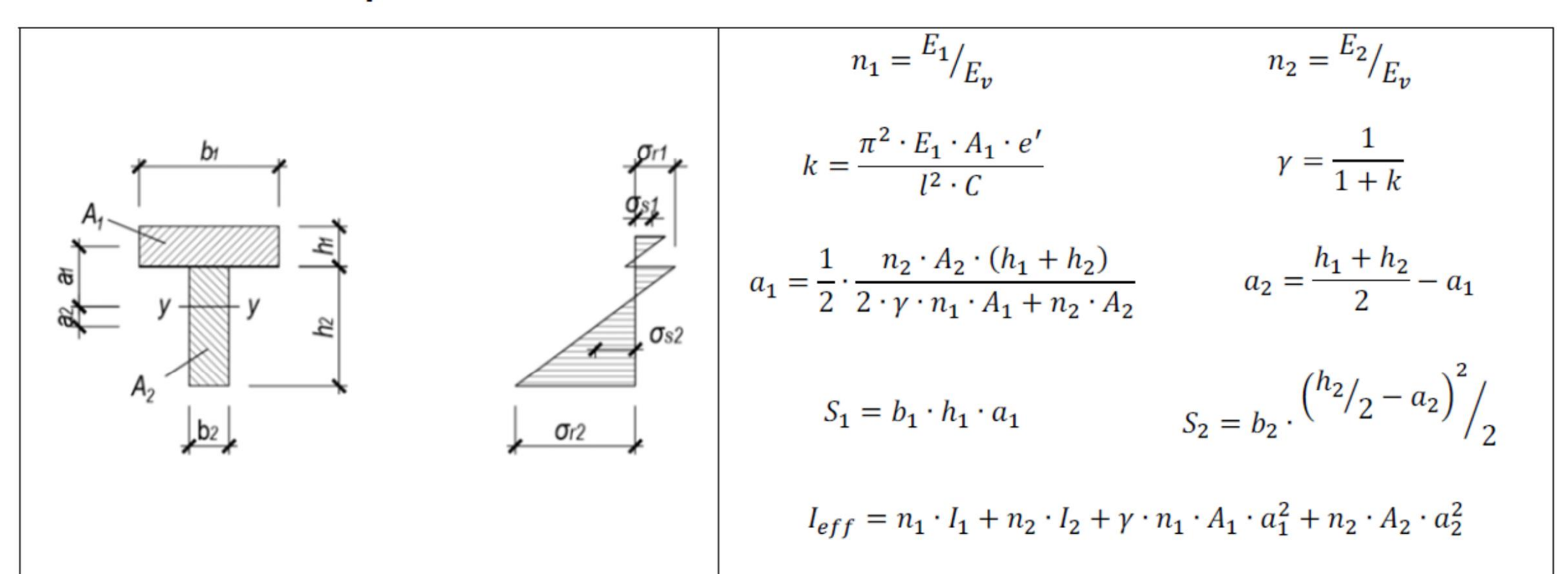


$$\mathbf{n} = \frac{\mathbf{E}_{\mathbf{b}}}{\mathbf{E}_{\mathbf{h}}}$$

$$\sigma_b = E_b \ \epsilon_{sup} = \frac{E_b}{E_h} \ E_h \ \epsilon_{sup} = n \ \sigma_h$$

Section bicouche

#### Section composée bi-couches



Contrainte à l'axe de la section i

$$\sigma_{si} = \frac{M}{I_{eq}} \cdot \gamma_i \cdot a_i$$

Contrainte de bord

$$\sigma_{ri} = \frac{M}{I_{eq}} \cdot \left( \gamma_i \cdot a_i \pm \frac{h_i}{2} \right)$$

$$\sigma_{s1} = \frac{M}{l_{eff}} \cdot \gamma \cdot a_1 \cdot n_1 \qquad \sigma_{s2} = \frac{M}{l_{eff}} \cdot a_2 \cdot n_2 \qquad \sigma_{r1} = \frac{M}{l_{eff}} \cdot \left(\gamma \cdot a_1 + \frac{h_1}{2}\right) \cdot n_1 \qquad \sigma_{r2} = \frac{M}{l_{eff}} \cdot \left(a_2 + \frac{h_2}{2}\right) \cdot n_2$$

Le flux de cisaillement entre la couche i et i+1 (N/mm)

$$ef \ t = \frac{\max Q}{I_{eff}} \cdot \gamma \cdot n_1 \cdot S_1$$

Avec

$$S_1 = b_1 \cdot h_1 \cdot a_1$$

# Le fluage

#### Méthode de dimensionnement

Considération du fluage des matériaux

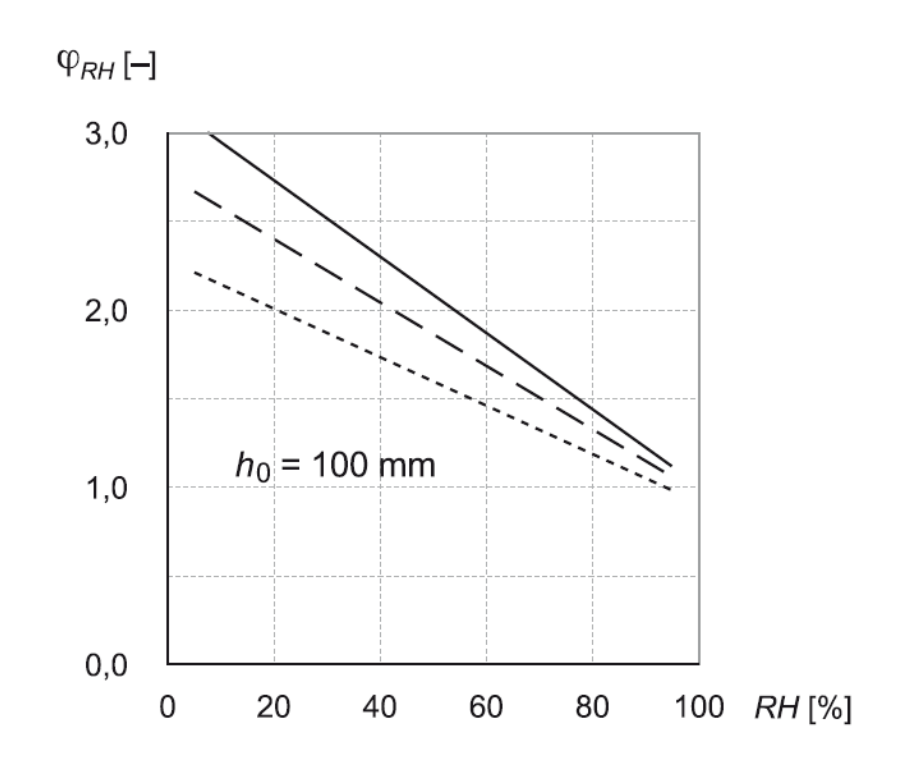
$$E_{\infty} = \frac{E_0}{1 + \varphi}$$

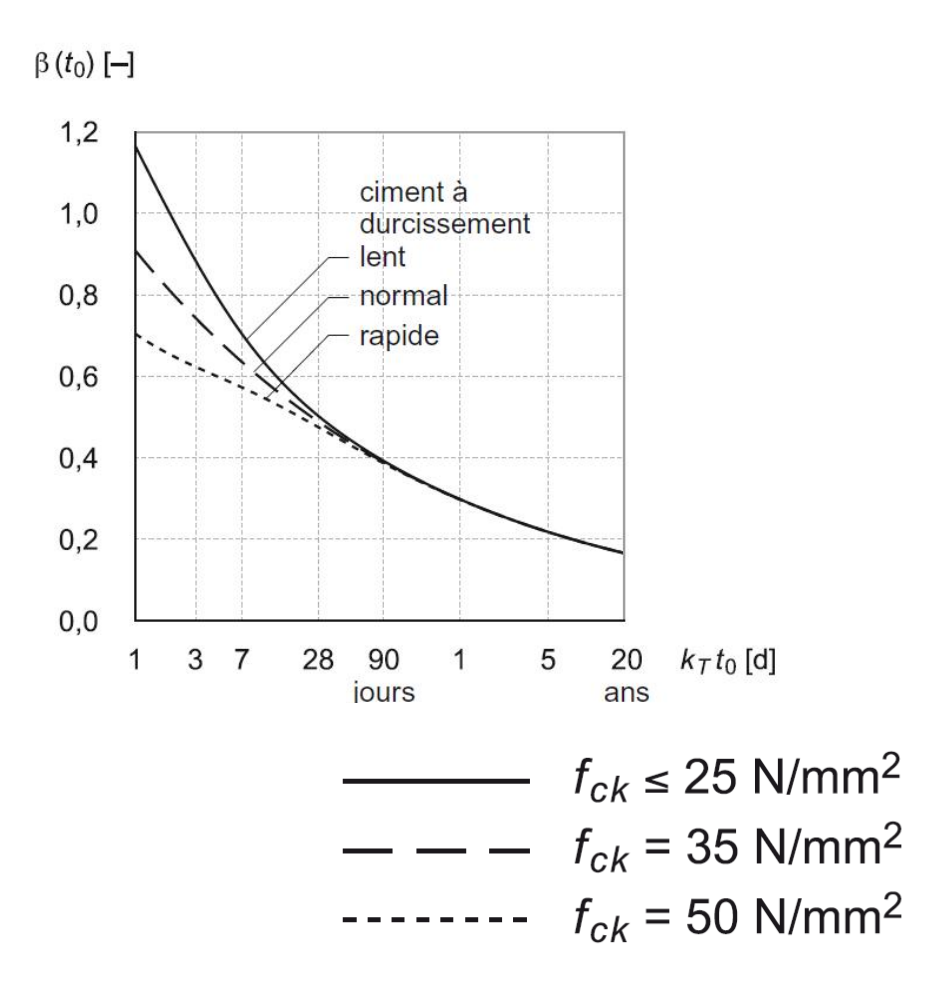
SIA 262 formule 13

facteur de fluage 
$$\varphi(t, t_0) = \varphi_{RH} * \beta_{fc} * \beta(t_0) * \beta(t - t_0) = \varphi_{RH} * \beta_{fc} * \beta(t_0) * \beta(t_0) * \beta(t_0) = \varphi_{RH} * \beta_{fc} * \beta_{$$

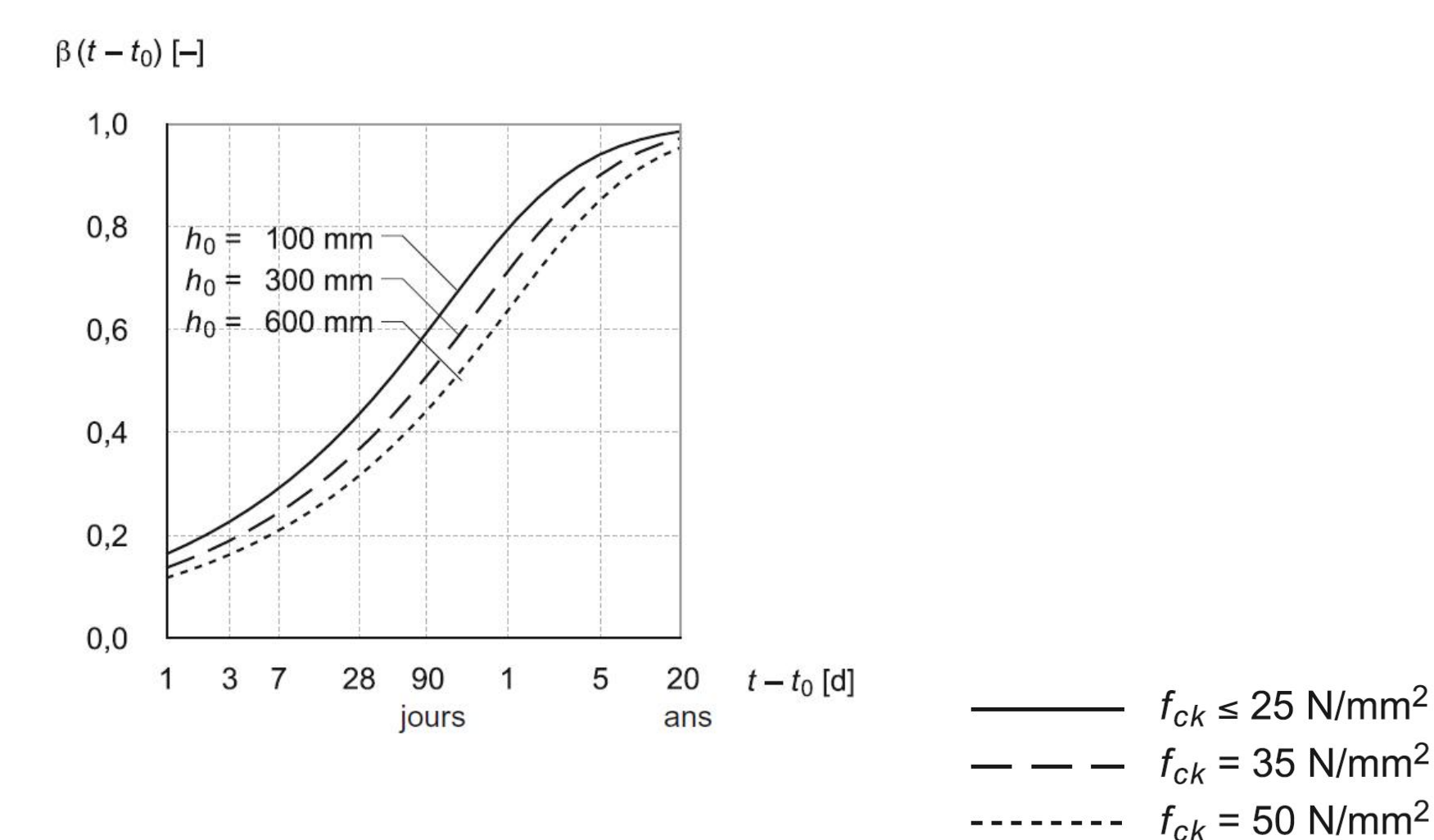
Coefficient d'humidité ambiante

Coefficient de l'âge de la mise en charge





Coefficient de durée de charge



Coefficient de résistance

Tableau 4: Coefficient  $\beta_{fc}$  tenant compte de la résistance du béton dans le calcul du coefficient de fluage

Béton	C 12/15	C 16/20	C 20/25	C 25/30	C 30/37	C 35/45	C 40/50	C 45/55	C 50/60	C/
β <sub>fc</sub> [–]	3,8	3,4	3,2	2,9	2,7	2,6	2,4	2,3	2,2	< 2,2

SIA 262 formule 13

facteur de fluage  $\phi(t, t_0) = \phi_{RH} * \beta_{fc} * \beta(t_0) * \beta(t - t_0) = 2.1 * 2.9 * 0.5 * 0.6 = 1.83$ 

(SIA 262 formule 13)

#### fluage

qualité du béton  $\beta_{fc} = 2.9$ 

jour de mise en charge (28j)  $\beta(t_0) = 0.5$ 

durée de la charge ( $\infty - 28j$ )  $\beta(t - t_0) = 1 - 0.4 = 0.6$ 

humidité d'ambiance  $\phi_{RH} = 2.1$ 

Selon SIA 265

- E=11'000 N/mm2
- $\phi = 0.6$

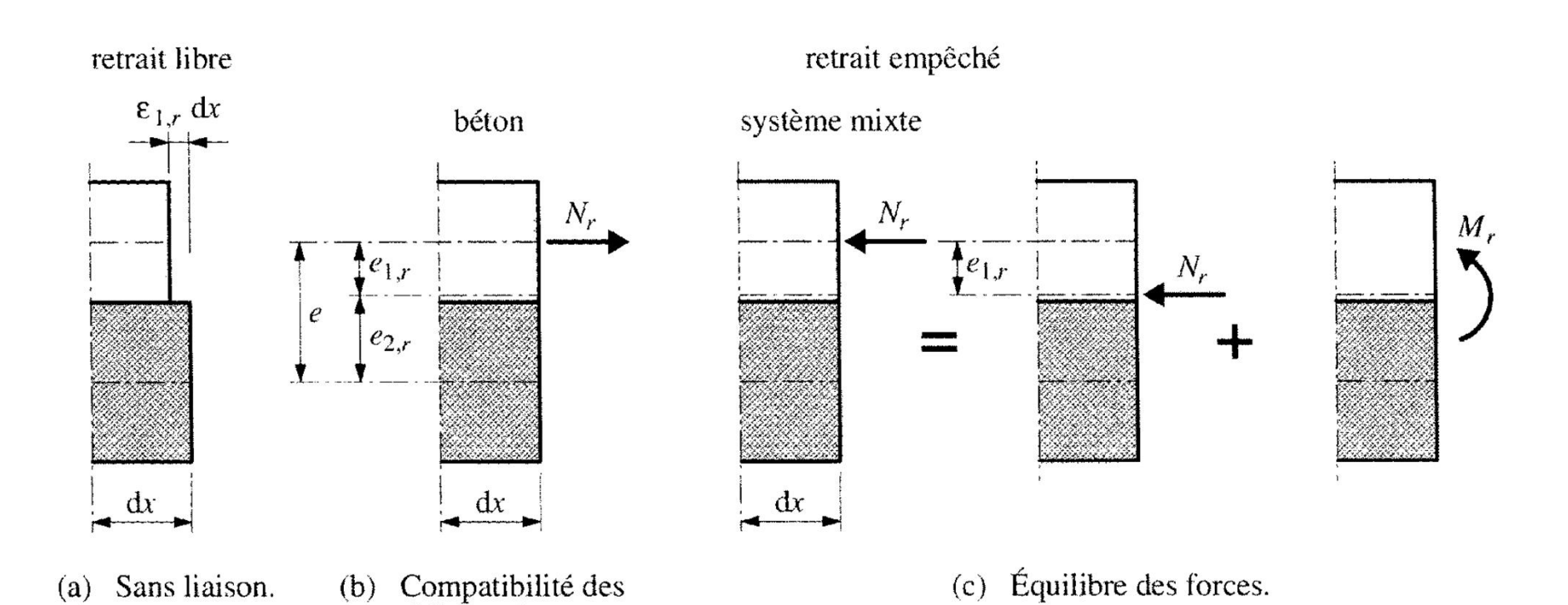
$$E_{\infty} = \frac{E_0}{1 + \varphi}$$

## Retrait du béton

## Méthode de dimensionnement

Considération du retrait du béton

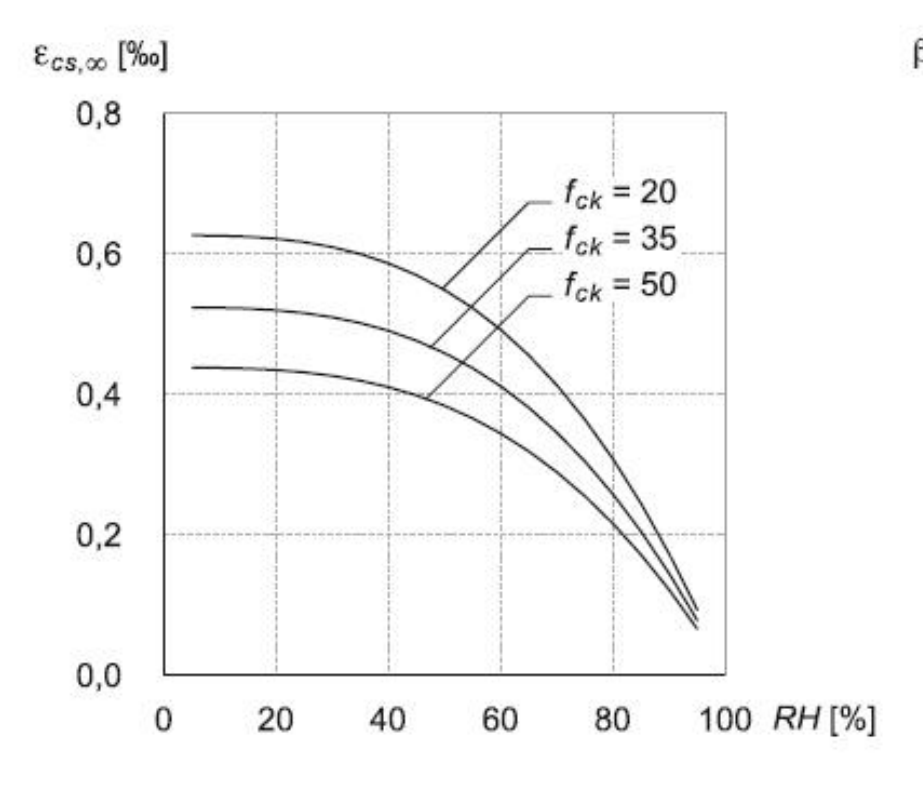
déformations.

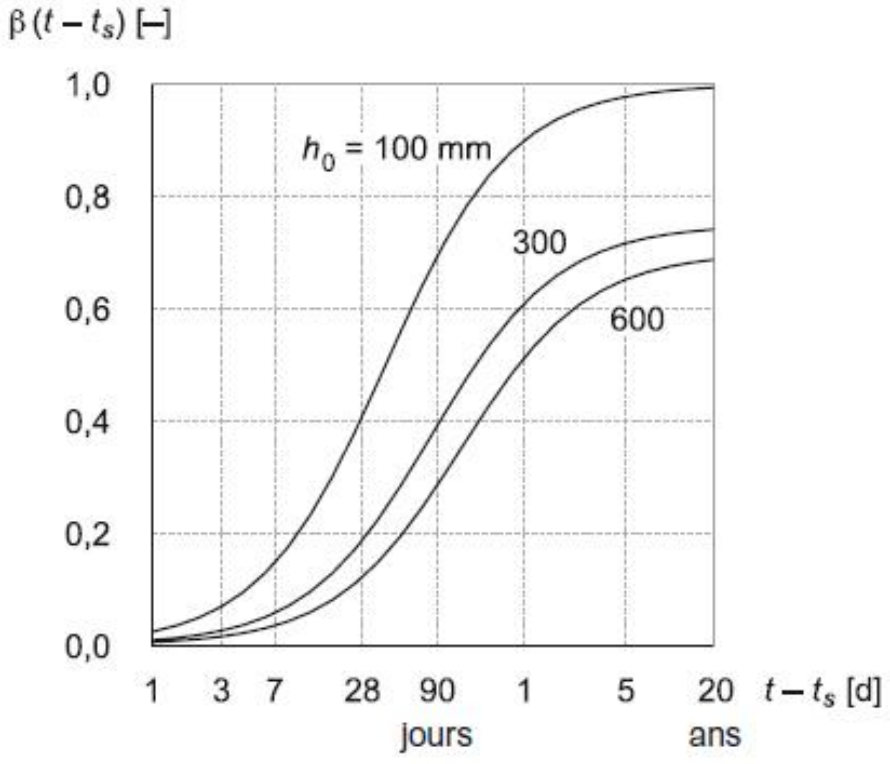


#### Coefficient de retrait du béton

Coefficient d'humidité ambiante

Coefficient du début de dessiccation





#### Retrait du béton

Module de rigidité du béton pour le retrait

$$E_{br} = \frac{E_b}{1 + 0.5 \ \phi}$$

φ : coefficient de fluage du béton.

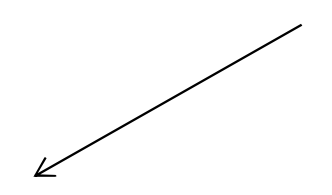
Module de rigidité du bois pour le retrait

$$E_{h,\infty} \qquad E_{\infty} = \frac{E_0}{1 + \varphi}$$

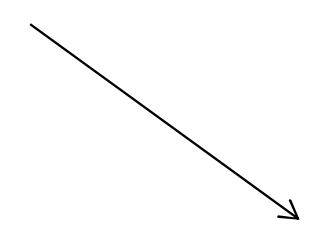
## Combinaison

#### Méthode de dimensionnement

- Considération du fluage des matériaux
  - Par conséquent il faut splitter les charges splitter les modèles



- courte durée
- Calcul des contraintes
- Calcul des déformations





longue durée

Calcul des contraintes

Calcul des déformations

Calcul des déformations

Retrait



Superposition

# Superposition ELU

CD
RETRAIT

E bois =  $11'000 \text{ N/mm}^2$  E bois =  $7'600 \text{ N/mm}^2$  Favorable

■ E beton = 30'000 N/mm² E beton = 12'000 N/mm² négligé

Charge =  $1,5(1-\psi_2)$  q charge =  $1,35g+\psi_2q$ 

#### Résultat

Contrainte

# Superpostion ELS

CD

E bois =11000

E béton = 30000

• Charge  $(\psi_1 - \psi_2)$  q

LD

E bois = 6875

E béton = 10600

Charges =  $g + \psi_2 q$ 

Retrait

E bois = 6875

E béton =15700

 $v_{\sf CD}$ 

 $u_{\mathsf{LD}}$ 

 $v_{\mathsf{retrait}}$ 

#### **Verification**

Fonctionnement

$$v_{CD}$$
 +  $v_{LD}$  +  $v_{retrait}$  + CF < I/350

Aspect

$$v_{LD}$$
 +  $v_{retrait}$  < I/300

Confort:

 $v_{CD} + v(\psi_2 q) < 1/350$ 

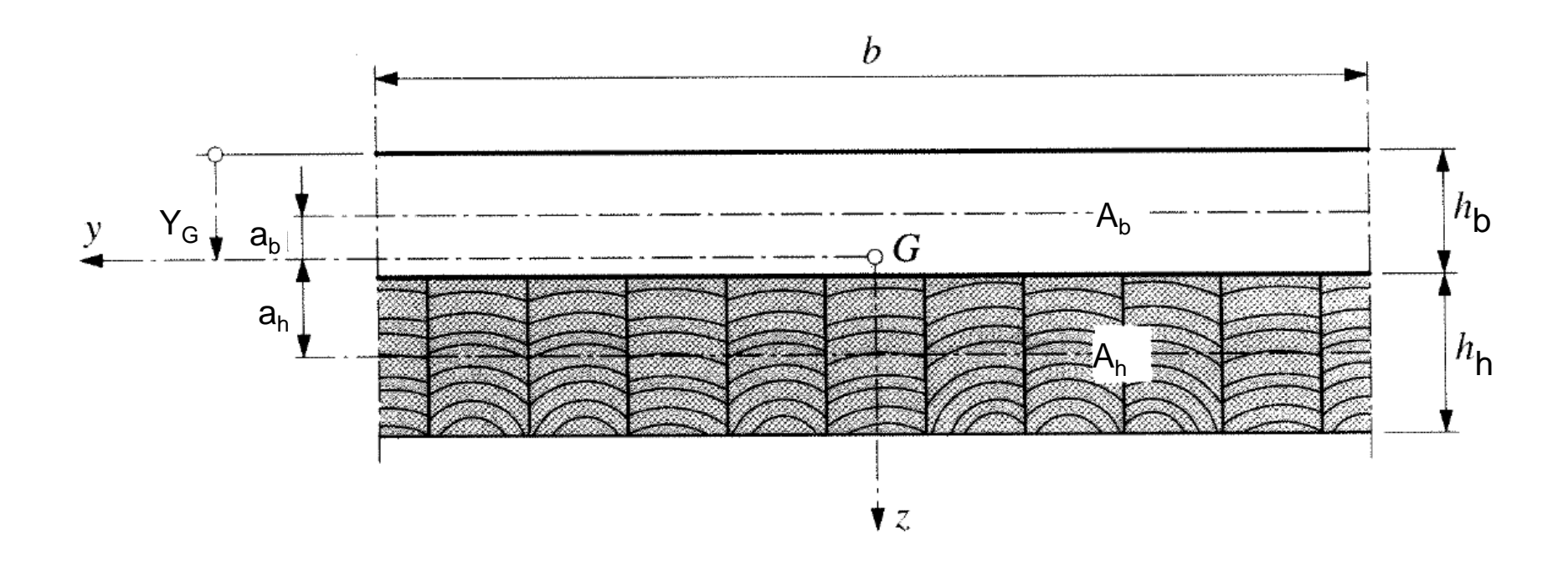
## **EXEMPLE**

# Un exemple

- Une dalle portée 7.5 m
- Charge utile 2,0 kN/m2 Log. cat A
- Surcharge 1.0 kN/m2

béton = 80 mm

bois = 160 mm



# Coefficient de liaison $\gamma$

Pour le système avec entaille

Tableau 9.18 Coefficient de glissement de la liaison γ pour une dalle mixte bois-béton avec rainures.

Portée l	Types de joints de planches clouées ou collées sur la portée l					
de la dalle mixte	Joints droits	Joints aboutés	Sans joint (= l)			
<i>l</i> ≤ 7.0 m	0.80	0.80	0.85			
$7.0 \text{ m} < l \le 10.0 \text{ m}$	0.80	0.85	0.90			
<i>l</i> > 10.0 m	0.85	0.90	0.90			

## Les connecteurs

# Système avec entaille

# Reprise de l'effort de cisaillement

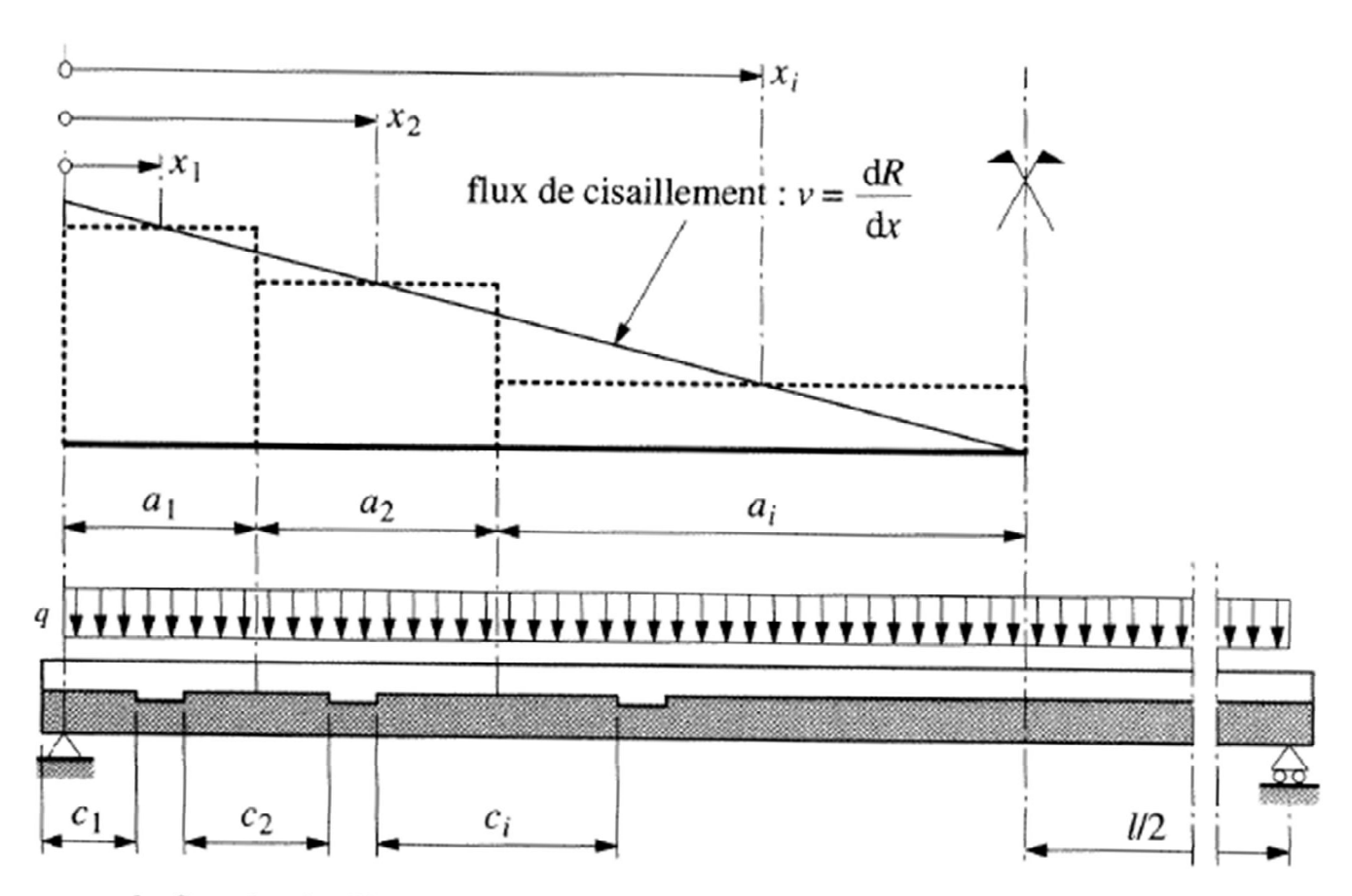


Fig. 9.19 Diagramme du flux de cisaillement v (effort rasant par unité de longueur) et position des rainures de la dalle mixte bois-béton.

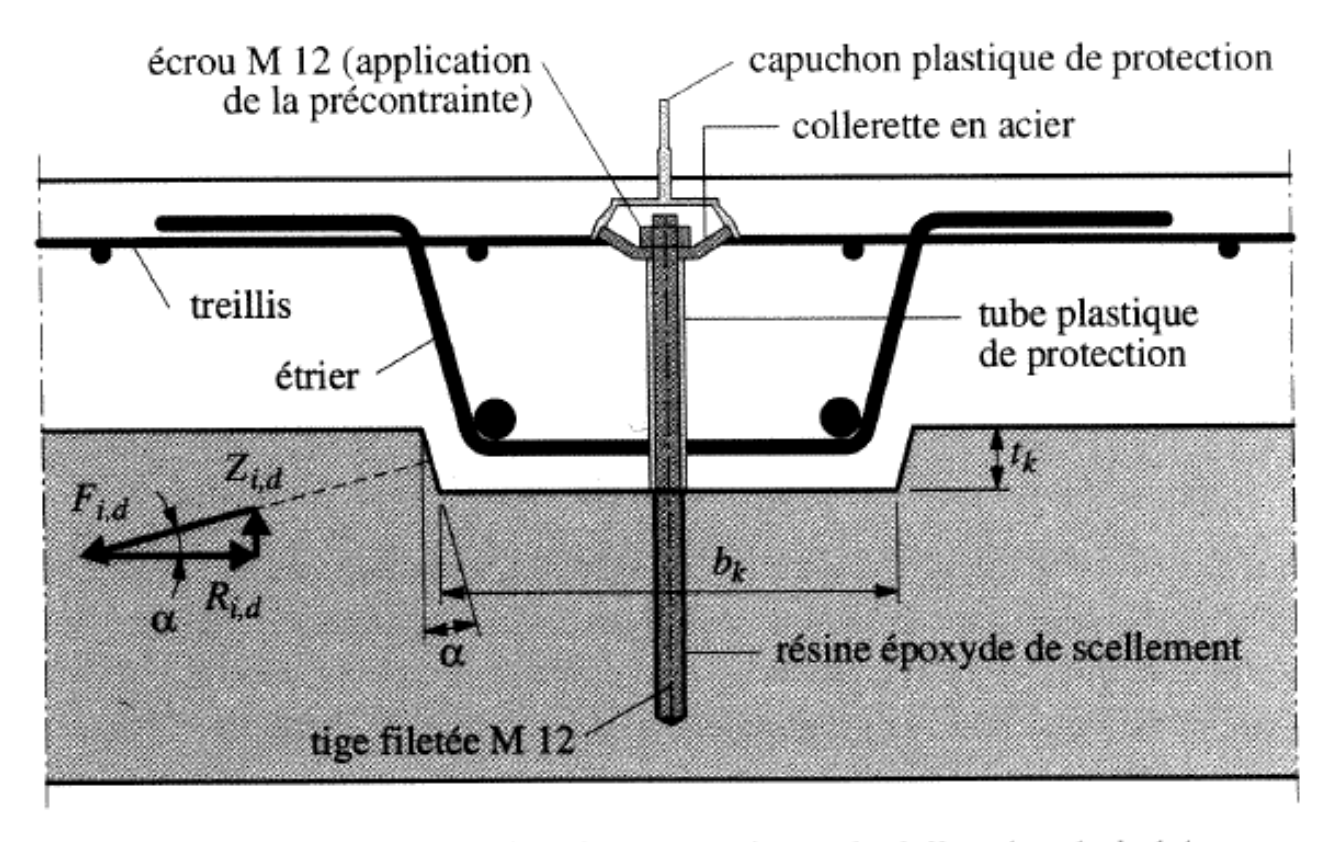
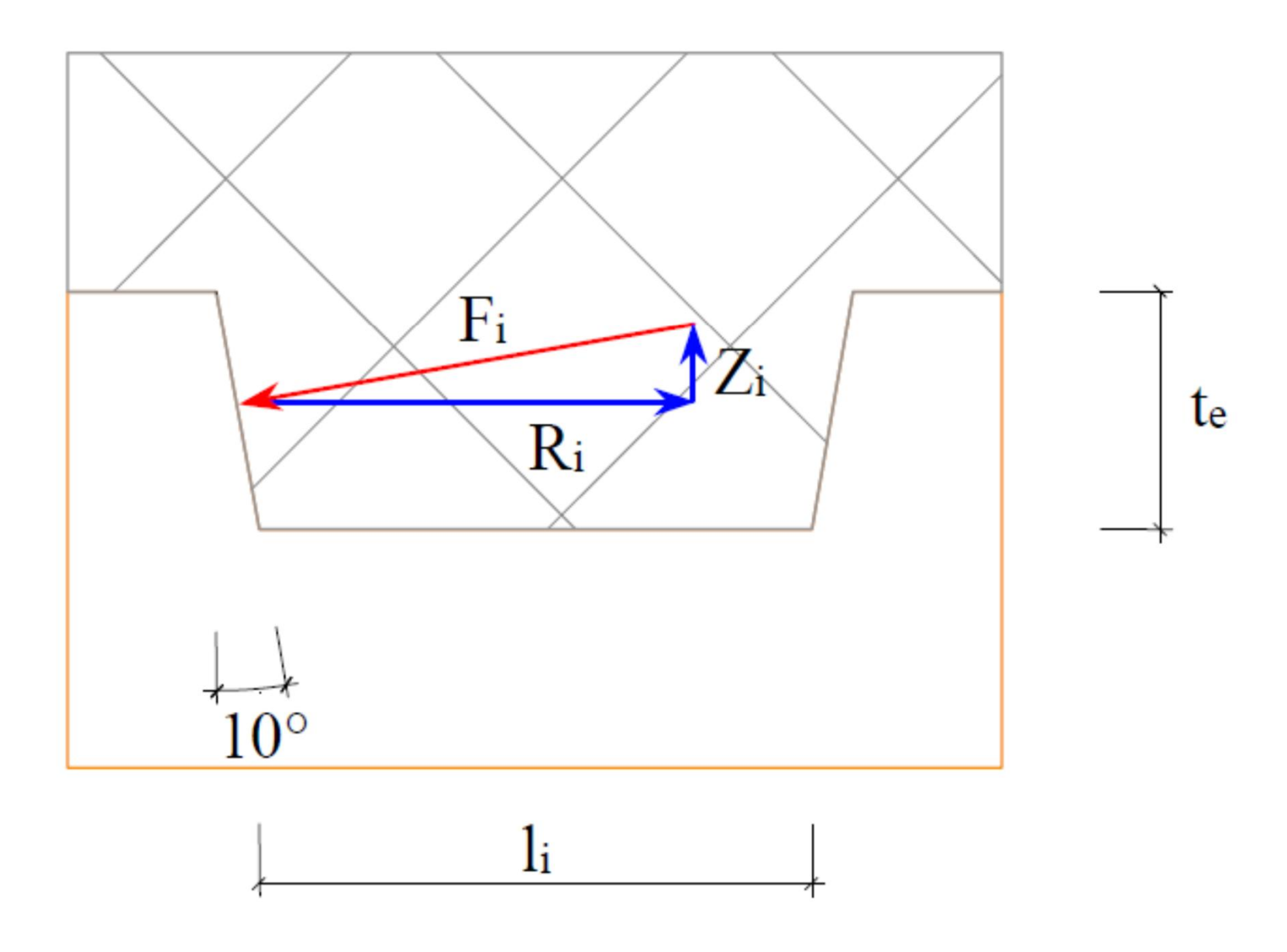


Fig. 9.17 Détail d'un goujon dans une rainure de dalle mixte bois-béton.



✓ Poinçonnement du bois incliné.

$$\frac{F_{i} \cos \alpha}{t_{e} b_{e}} \leq \overline{\sigma}_{d\alpha=10^{\circ}}$$

✓ Cisaillement de l'avant bois.

$$\frac{R_i}{c_i b_e} \le \tau$$

τ : cisaillement simple admissible du bois.

c<sub>i</sub> : longueur de l'avant bois de l'entaille i.

b<sub>e</sub>: largeur d'entaille résistante. En général, b<sub>e</sub> =b = 1m.

#### Exigence concernant le goujon.

✓ Traction du goujon.

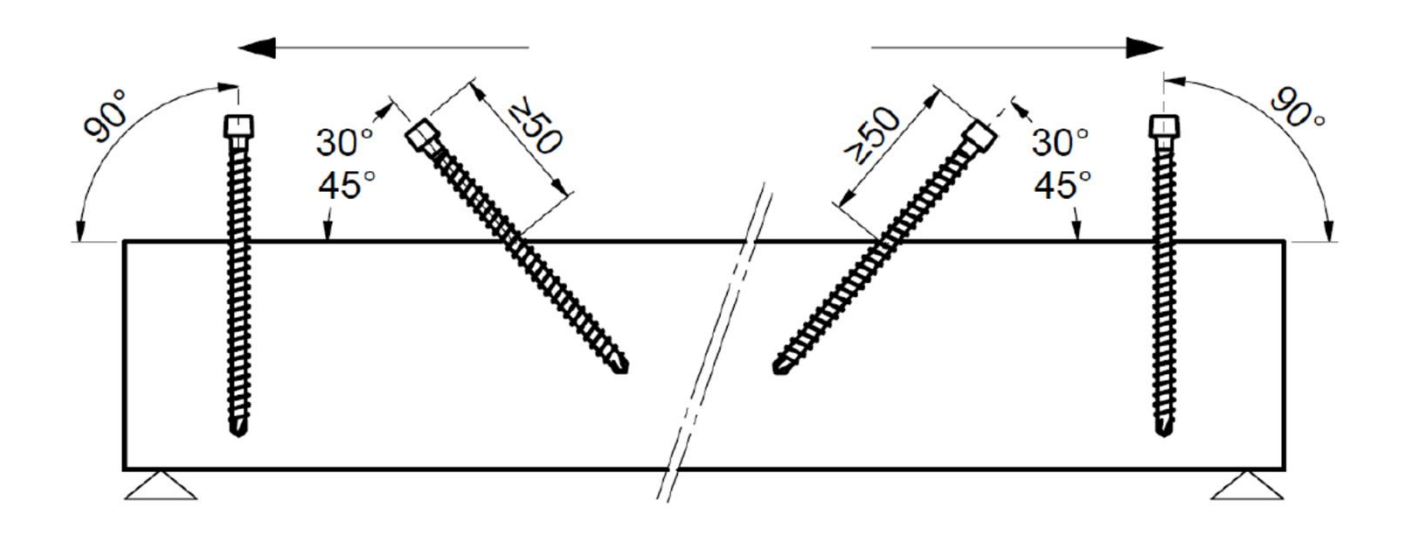
$$Z_i \le n_i \overline{F}$$

F: résistance à l'arrachement du goujon.

n<sub>i</sub>: nombre de goujons dans l'entaille.

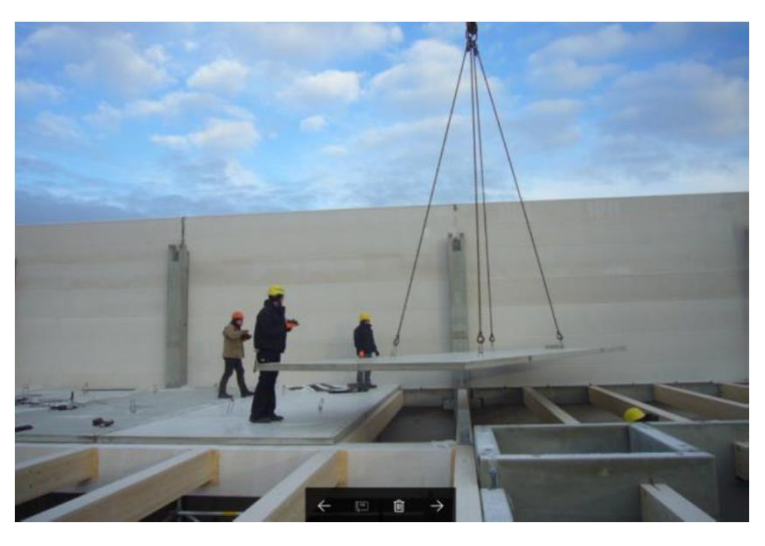
## Vis Würth

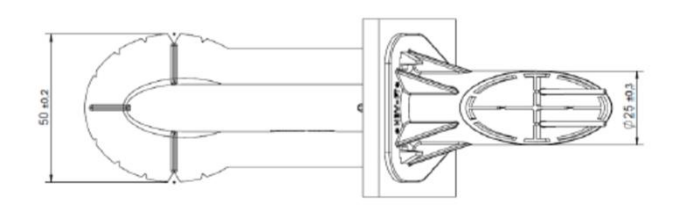
## ETA-13/0029 du 11/7/17



## Connecteur Würth







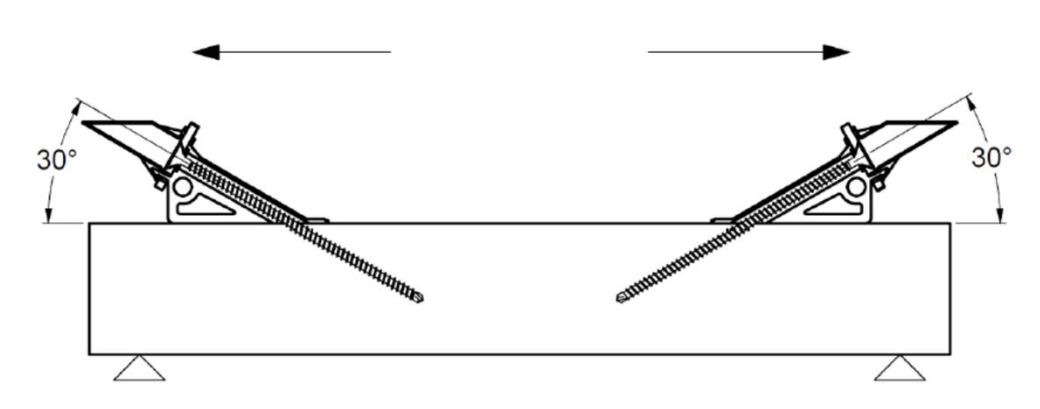


Abb. 1.1c Anordnung von ASSY plus VG-Schrauben und FT-Verbindern

# Kser – rigidité du connecteur

Tabelle 2.2 – Werte für  $K_{ser}$  von Holz-Beton-Verbindungen mit ASSY plus VG-Schrauben

Ausrichtung	K <sub>Ser</sub> in N/mm						
ASSY plus VG-	Mit Zwise	chenschicht	Direkter Kontakt von Holz und Beton				
Schrauben	d = 8 mm	d = 10 mm	d = 8 mm	d = 10 mm			
90°	700	-	2000	-			
45°	100 ℓef	-	100 ℓef	-			
30°	-	45 (lef - 2·t <sub>ib</sub> )	-	45 (lef - 2·tib)			

$$k = \frac{\pi^2 \cdot E_1 \cdot A_1 \cdot e'}{l^2 \cdot C}$$

$$\gamma = \frac{1}{1+k}$$

# Vérification de l'assemblage

Flux de cisaillement:

$$ef \ t = \frac{\max Q}{I_{eff}} \cdot \gamma \cdot n_1 \cdot S_1$$

Assemblage:

$$N_1 = ef \ t \cdot e' < N_{r,d}$$